

automatic Report, IMETER / MSB Breitwieser, Augsburg, 26. Jan 23

ID N° 18746 - Contact Angle Measurement - M4⁺

Executed on Okt 12, 2020, by M. Breitwieser

v2-Test HDPE dyn. (A4)

Wasser- OFS perfekt (934mg).

Probe an stirnfläche entgratet. Abgerieben mit Zellstoff. Mit Ionengebläse entladen.

=> Vortests mit 0.25 mm/s, dann 15 Messungen von 0.1 bis ca 6mm/s [Repetition N°4]

 Measurement between **Wasser** and **HDPE**, result: $\theta_C = 86,1^\circ$ dyn. 25,01°C

Report

1. ===== Introduction =====

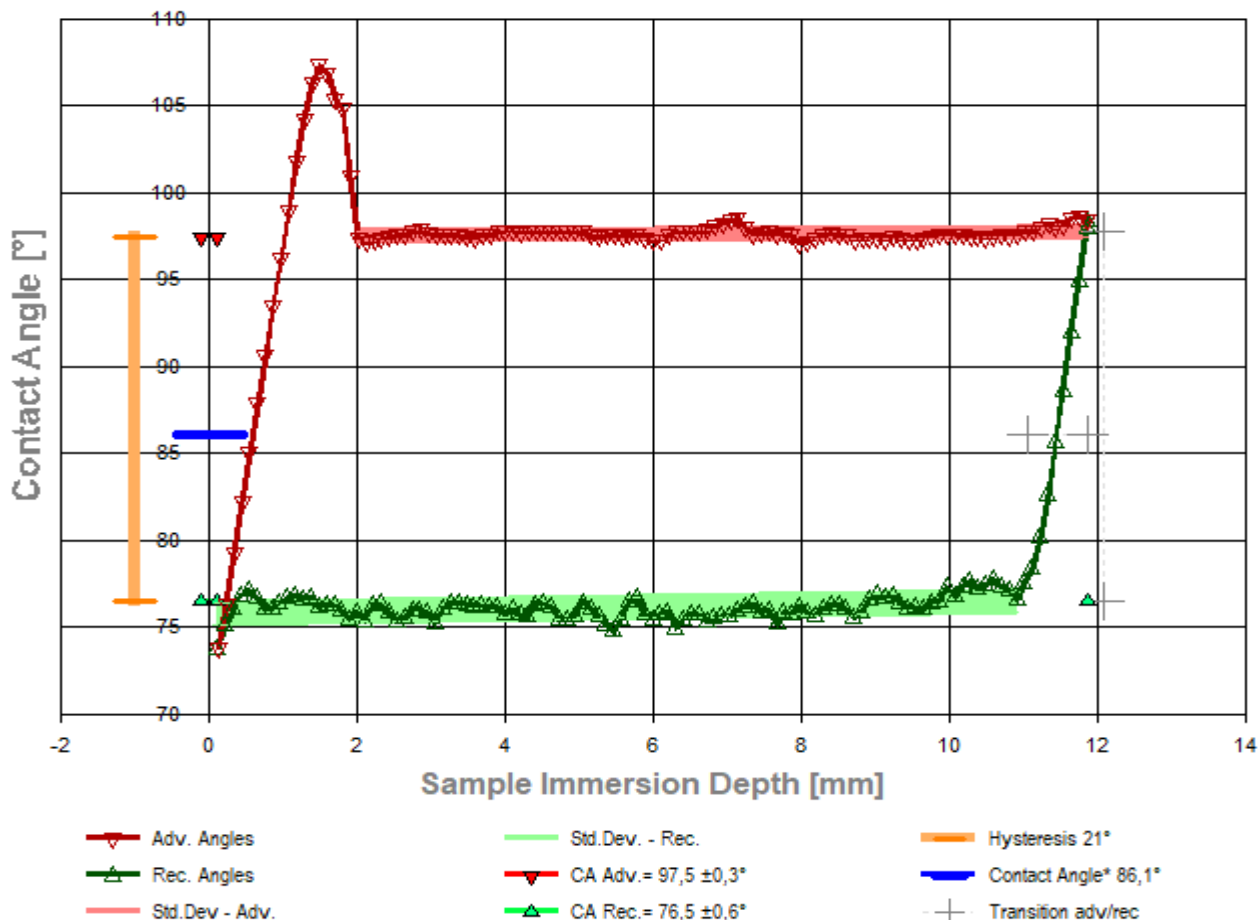
Prinzip: Die *Kontaktwinkelmessung* nach der sog. 'Wilhelmy-Methode' beruht auf Kraftmessungen (z.B.) an einer dünnen Platte, die senkrecht mit einer Flüssigkeitsoberfläche in Kontakt gebracht wird. Indem die *Platte* die Flüssigkeitsoberfläche berührt und in sie hineinbewegt wird, formt sich die Flüssigkeit entsprechend der *Benetzbarkeit* eine Flüssigkeitswulst (*Meniskus*). Liegt gute Benetzbarkeit vor, steigt die Flüssigkeit auf der Plattenoberfläche empor, oder wird bei schlechter Benetzbarkeit abgestoßen und erscheint nach unten eingestülpt. Dementsprechend wird das Gewicht an der Platte durch die Position und Wölbung der Phasengrenze modifiziert (*Benetzungskraft*). Wird die Bewegungsrichtung umgekehrt und die Platte wird wieder herausgezogen, kann man in der Regel sehen, dass sich auch die Deformation der Flüssigkeit an der Dreiphasengrenze verändert. - Der Winkel, unter dem die Flüssigkeitsoberfläche an der Platte anlangt, und somit die Qualität der Benetzung charakterisiert, ist der Kontaktwinkel θ (Theta). Der bei der Vorwärtsbewegung auftretende Benetzungswinkel wird Advancing-Kontaktwinkel θ_A , der beim Herausziehen gemessene wird Receding-Kontaktwinkel θ_R genannt. Der Unterschied beider ($\theta_A - \theta_R$) ist die Kontaktwinkelhysterese (CAH).

Physikalisch: Die Wilhelmy-Gleichung stellt den Zusammenhang von Kontaktwinkel θ , Plattenumfang p , *Benetzungskraft* F und Oberflächenspannung der Flüssigkeit γ her: $\cos\theta_{(A..R)} = F / (p \cdot \gamma)$.

Praktisch: In der vorliegenden Messung wird der 'HDPE'-Prüfkörper nach Ermittlung des Oberflächenniveaus bei konstanter Vorschub-Geschwindigkeit in die Flüssigkeit *Wasser* hineinbewegt und wieder herausgezogen, wodurch *dynamische Kontaktwinkel* bestimmt werden. Für jede der 199 Messungen wird der jeweilige Kontaktwinkel θ_A bzw. θ_R unabhängig berechnet. Die Ergebnis-Kontaktwinkel werden aus diesen Einzelwerten durch lineare Regressionen bestimmt. Die zugehörige Standardabweichung kann zur Charakterisierung der Einheitlichkeit der Probenoberfläche dienen.

Information: Die IMETER M4-Methoden-Beschreibung bietet unter

<https://www.imeter.de/imeter-methoden/kapillaritaet-kontaktwinkel-sorptivitaet/methode-m4.html> Informationen zu Verfahren und Berechnungen. *Dieser automatisch generierte Bericht ist mit Kommentaren und Erklärungen versehen. Diese sind formatiert wie dieser Text.*

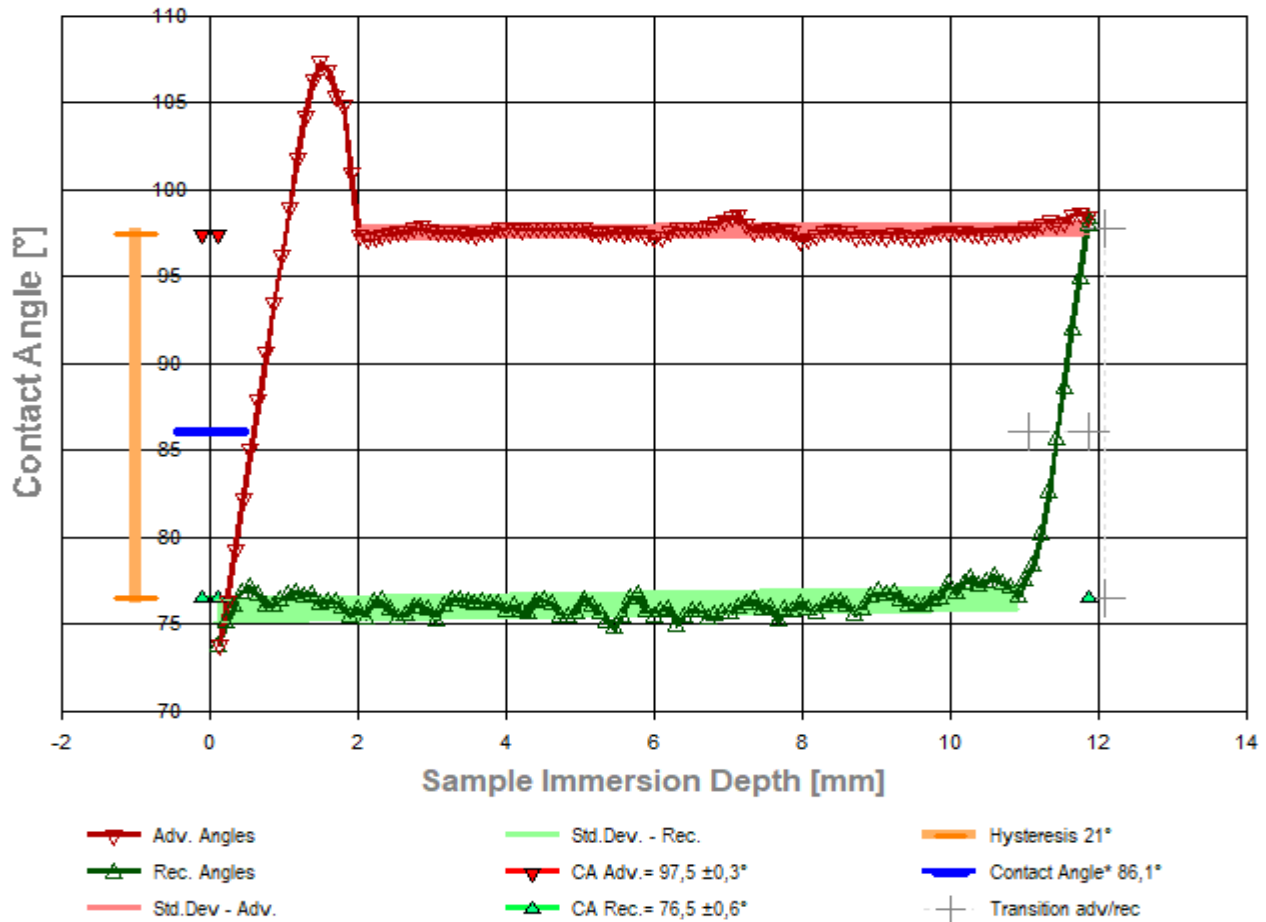


2. ===== Dynamic Contact Angle Results =====

Wasser ↔ HDPE	3rd Phase is air / Wasser-vapor, measurement at $\vartheta=25,0^{\circ}\text{C}$		
Contact Angle, CA θ_c :	86,1°, $\theta_M = 87,0^{\circ}$		
Contact Angle Hysteresis, CAH :	21,0°		
	Advancing θ_A	Receding θ_R	Transition 0,830 mm
Contact Angles, θ :	97,5°	76,5°	adv.97,7° rec.76,5°
Standard Deviation s :	$\pm 0,3^{\circ}$	$\pm 0,6^{\circ}$	$\pm 0,9^{\circ}$
Slope of Reagr.curve [°/mm] :	0,0214	0,0627	25,6
Correlation coefficient r^2 :	0,04	0,10	0,984
Valid CA-Measurements n :	95	104	8
Vertical Speed v [mm/s] :	$0,25 \pm 2,98\text{E-}5$	$-0,25 \pm 2,71\text{E-}5$	
Capillary Number Ca :	$3,09\text{E-}6$	$-3,09\text{E-}6$	

- The table above presents the summary of this Contact Angle Measurement. The equilibrium Contact Angle θ_c is calculated from advancing and receding values according to the formula of *Tadmor/Chibowski*; the average value of advancing and receding Contact Angle is given by θ_M . In case of a simple regular measurement the slope of the CA-regression curves should be for advancing and receding the same and close to zero. The Capillary Number Ca is calculated from vertical speed v and the viscosity and surface tension of the fluid. A value below $\sim 10^5$ is normally an indication for the predominance of capillary forces over viscous drag (in porous media). The change of the direction from advancing to receding - where the contact line is pinned and only the angle is changing from advancing to receding - is analyzed within the column 'Transition'. The Diagramm below is presenting these results and further details in a graphical way.

- Diagramm 1.2: 'Contact Angle²¹' -- Data, Calculation and Results



- Diagram for the results summary of the contact angle measurement: The small triangular marks show the individual contact angle values depending on the immersion depth of the sample. At '0' on the x-axis, the flatface front of the sample touches the surface of the liquid, to the right the depth of immersion increases. This 'immersion depth' indicates the calculated position of the three-phase boundary on the sample surface. Red triangles show the contact angles when immersed (advancing the fluid over the sample surface), Green triangles when retracting (receding). The contact angle peak at 1,498 mm indicates a sharp edge - the 'triple line' is fixed there while the immersion goes on until this hypertensive θ_A max. 107,3° is reached. - The direction reversal is characterized by a clear step where the triple line behaves like being pinned to the solid surface. The height of this step equals the 'contact angle hysteresis' (CAH). The two contact angles and the extent of hysteresis are determined from the graph by plotting linear regressions over the ranges. The advancing angle θ_A is determined by the regression equation for the immersion depth '0'; the receding angle θ_R is determined by extrapolation to the maximum immersion depth (thus any errors due to adherence of remaining liquid are eliminated). The standard deviation of the regression curves is indicated by the width of the hatching, which also graphically indicates the data range of the regression. Further marks indicate the determined angles (red, green) and the hysteresis range (yellow) above the Y-axis, the main result, the equilibrium contact angle θ_c is shown in blue.

3. ===== Details on the Measurement and Setup =====

This Document presents the **4. Repetition of the Measurement IDN°18742**

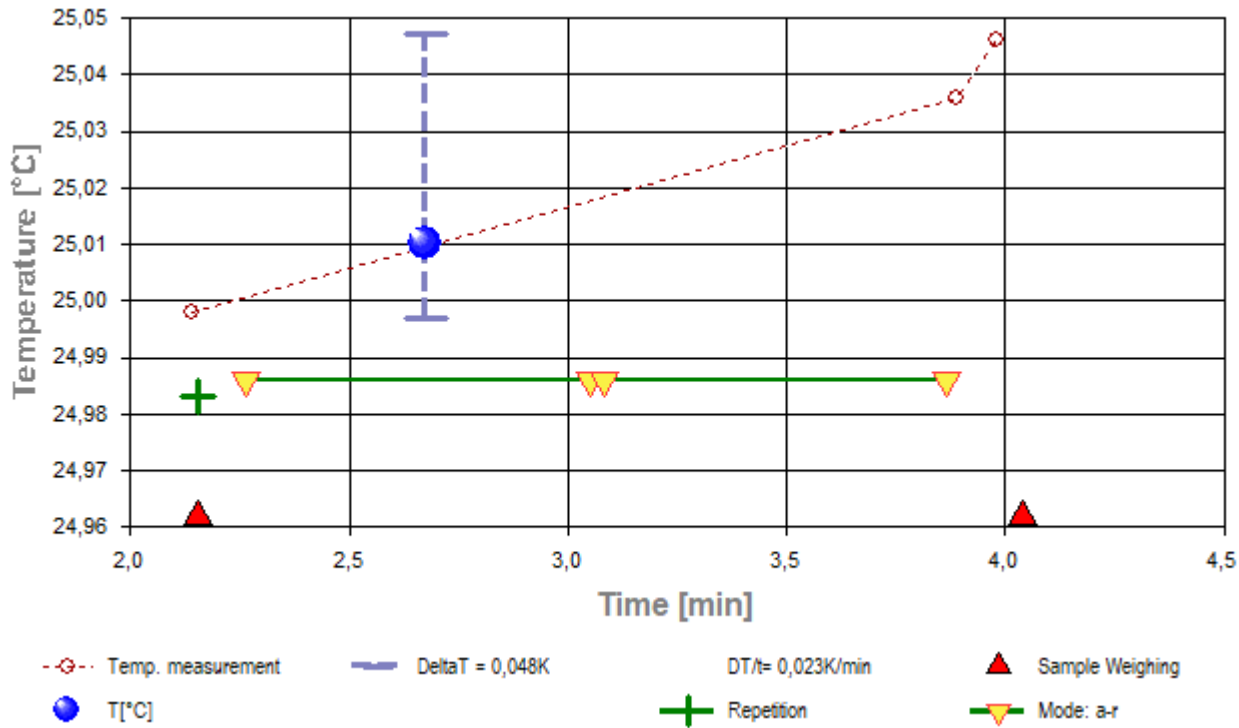
- Details of the setup, data on liquid and sample of this IDN°18746 are declared in the referred first document of this series.

Sample Weight at Start: 5,2126 g; alteration to reference 0,0086 g.

Measurement algorithm: dynamic CA-measurement, acquisition during constant movement to the maximum immersion of 11,870 mm. Duration for immersion 0,78 min, for emersion 0,78 min.

Time & Temperature: Messdauer vier Minuten; Temperaturzunahme von 25,00 auf 25,05°C.

- Diagramm 2.3: "Temperature & Events²¹" -- Survey on Temperature and Time



- Das Diagramm "Temperature & Events²¹" dokumentiert neben der Flüssigkeitstemperatur der Messfluids (Wasser) die zeitliche Abfolge der Verfahrensschritte. Die Temperaturmesswerte sind als kleine Kreise abgebildet; die kugelförmige Marke gibt die der Messung insgesamt beigeordnete Temperatur an (25,01°C). Weitere gelbe Dreiecke auf der waagerechten Linie umschließen jeweilige Zeiträume der Messmodi ('a-r' bedeutet Vorwärts- und Umkehrbewegung). Die roten Dreiecke ganz unten zeigen zeitliche Punkte der Wägung der HDPE-Probe.

4. ===== Table of raw data and results =====

The table below provides the data for each measuring position in this experiment. Within a row the column t lists the time of the CA-measurement. ϑ is the temperature of the liquid (sample and atmosphere). The nominal distance between the sample bottom flatface and the liquid surface is given by h_0 . Whilst h_{corr} stands for the corrected immersion depth- *due to CLT the values are the same*. With $w_{tot.}$ the complete weight of sample, sample holder, wetting force and buoyancy is displayed. The $w_{corr.}$ -values are the former values when the weight of the sample and its holder are subtracted. $w_{men.}$ is the net weight of the meniscus and the exerted force. The F/p gives the wetting force per meter of the circumference of the sample. Finally, θ gives the Contact Angle and chr reflects the advancing resp. receding state.

Tabella 1.4: Data table

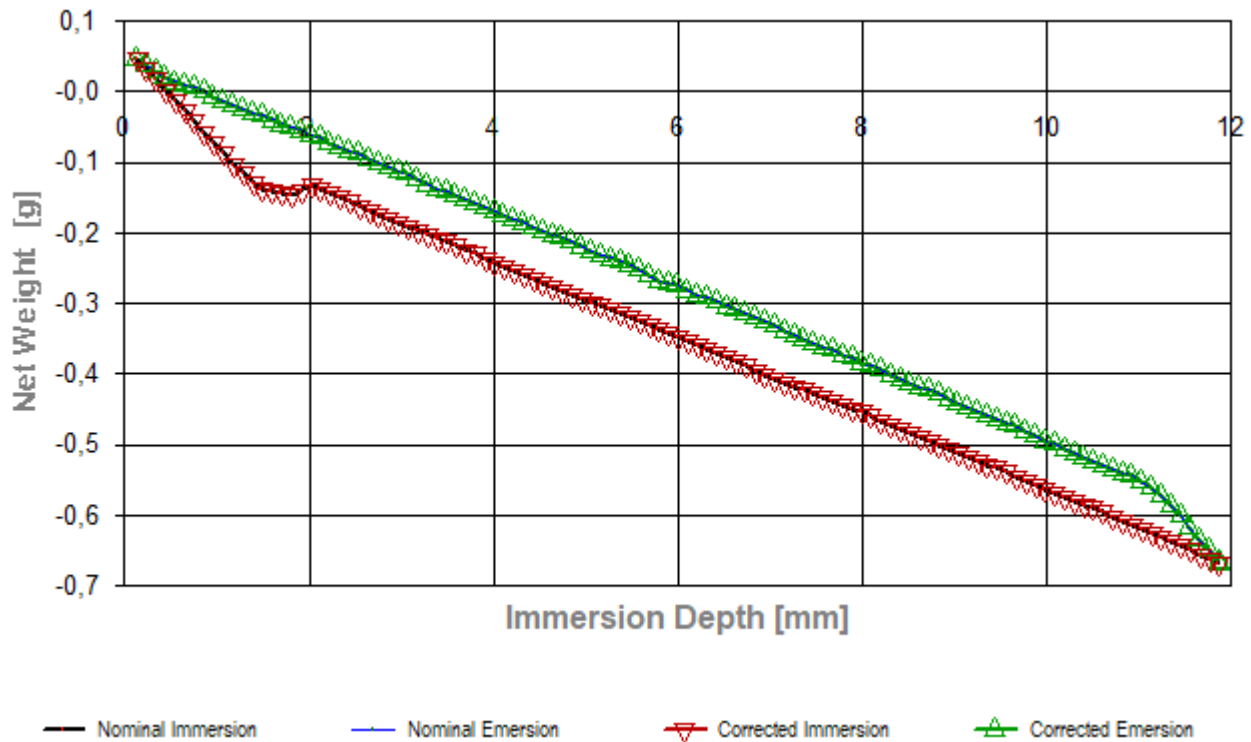
N°	t [sec]	ϑ [°C]	h_0 [mm]	$h_{corr.}$ [mm]	$w_{tot.}$ [g]	$w_{corr.}$ [g]	$w_{men.}$ [g]	F/p [mN/m]	θ [°deg]	chr --
1.	136,0	25,00	0,132	0,132	8,0949	0,0462	0,0533	20,07	73,81	a
2.	136,4	25,00	0,236	0,236	8,0813	0,0326	0,0454	17,06	76,29	a
3.	136,8	25,00	0,342	0,342	8,0658	0,0171	0,0356	13,37	79,29	a
4.	137,2	25,00	0,445	0,445	8,0507	0,0020	0,0260	9,79	82,18	a
5.	137,6	25,00	0,550	0,550	8,0355	-0,0132	0,0165	6,20	85,06	a
6.	138,0	25,00	0,654	0,654	8,0206	-0,0281	0,0072	2,71	87,84	a
7.	138,5	25,00	0,759	0,759	8,0057	-0,0430	-0,0021	-0,783	90,62	a
8.	138,9	25,00	0,863	0,863	7,9907	-0,0580	-0,0115	-4,31	93,44	a
9.	139,3	25,00	0,973	0,973	7,9757	-0,0730	-0,0206	-7,73	96,17	a

10.	139,8	25,00	1,081	1,081	7,9606	-0,0881	-0,0298	-11,22	98,97	a
11.	140,2	25,00	1,185	1,185	7,9459	-0,1028	-0,0389	-14,64	101,73	a
12.	140,6	25,00	1,289	1,289	7,9321	-0,1166	-0,0471	-17,71	104,25	a
13.	141,0	25,00	1,395	1,395	7,9199	-0,1288	-0,0536	-20,16	106,27	a
14.	141,4	25,00	1,498	1,498	7,9110	-0,1377	-0,0569	-21,41	107,31	a
15.	141,8	25,00	1,603	1,603	7,9069	-0,1418	-0,0554	-20,82	106,82	a
16.	142,3	25,00	1,708	1,708	7,9059	-0,1428	-0,0507	-19,09	105,38	a
17.	142,7	25,00	1,812	1,812	7,9022	-0,1465	-0,0488	-18,37	104,79	a
18.	143,1	25,00	1,916	1,916	7,9092	-0,1395	-0,0362	-13,62	100,91	a
19.	143,5	25,00	2,022	2,022	7,9151	-0,1336	-0,0246	-9,26	97,39	a
20.	143,9	25,00	2,125	2,125	7,9104	-0,1383	-0,0237	-8,93	97,13	a
21.	144,4	25,00	2,230	2,230	7,9044	-0,1443	-0,0241	-9,06	97,23	a
22.	144,8	25,00	2,334	2,334	7,8984	-0,1503	-0,0245	-9,21	97,35	a
23.	145,2	25,00	2,438	2,438	7,8925	-0,1562	-0,0248	-9,31	97,44	a
24.	145,6	25,00	2,543	2,543	7,8865	-0,1622	-0,0251	-9,46	97,55	a
25.	146,0	25,00	2,652	2,652	7,8806	-0,1681	-0,0251	-9,46	97,55	a
26.	146,5	25,00	2,757	2,757	7,8743	-0,1744	-0,0258	-9,71	97,76	a
27.	146,9	25,00	2,861	2,861	7,8684	-0,1803	-0,0261	-9,82	97,84	a
28.	147,3	25,00	2,969	2,969	7,8631	-0,1856	-0,0256	-9,62	97,68	a
29.	147,7	25,00	3,075	3,075	7,8579	-0,1908	-0,0251	-9,43	97,53	a
30.	148,1	25,01	3,178	3,178	7,8523	-0,1964	-0,0251	-9,44	97,54	a
31.	148,6	25,01	3,283	3,283	7,8467	-0,2020	-0,0250	-9,42	97,52	a
32.	149,0	25,01	3,387	3,387	7,8410	-0,2077	-0,0251	-9,45	97,55	a
33.	149,4	25,01	3,492	3,492	7,8357	-0,2130	-0,0248	-9,33	97,45	a
34.	149,8	25,01	3,596	3,596	7,8303	-0,2184	-0,0246	-9,25	97,39	a
35.	150,2	25,01	3,701	3,701	7,8240	-0,2247	-0,0252	-9,48	97,57	a
36.	150,7	25,01	3,805	3,805	7,8186	-0,2301	-0,0250	-9,42	97,52	a
37.	151,1	25,01	3,910	3,910	7,8122	-0,2365	-0,0258	-9,70	97,74	a
38.	151,5	25,01	4,014	4,014	7,8063	-0,2424	-0,0261	-9,80	97,83	a
39.	151,9	25,01	4,118	4,118	7,8008	-0,2479	-0,0260	-9,76	97,80	a
40.	152,3	25,01	4,222	4,222	7,7955	-0,2532	-0,0256	-9,64	97,70	a
41.	152,7	25,01	4,328	4,328	7,7897	-0,2590	-0,0257	-9,68	97,73	a
42.	153,2	25,01	4,432	4,432	7,7840	-0,2647	-0,0259	-9,73	97,77	a
43.	153,6	25,01	4,537	4,537	7,7784	-0,2703	-0,0258	-9,71	97,75	a
44.	154,0	25,01	4,641	4,641	7,7728	-0,2759	-0,0258	-9,70	97,75	a
45.	154,4	25,01	4,745	4,745	7,7671	-0,2816	-0,0259	-9,73	97,77	a
46.	154,8	25,01	4,849	4,849	7,7615	-0,2872	-0,0259	-9,73	97,77	a
47.	155,3	25,01	4,955	4,955	7,7558	-0,2929	-0,0259	-9,73	97,77	a
48.	155,7	25,01	5,058	5,058	7,7503	-0,2984	-0,0258	-9,70	97,75	a
49.	156,1	25,01	5,163	5,163	7,7453	-0,3034	-0,0251	-9,45	97,55	a
50.	156,5	25,01	5,268	5,268	7,7400	-0,3087	-0,0248	-9,33	97,45	a
51.	156,9	25,01	5,372	5,372	7,7341	-0,3146	-0,0251	-9,44	97,54	a
52.	157,3	25,01	5,476	5,476	7,7283	-0,3204	-0,0253	-9,51	97,59	a
53.	157,8	25,01	5,586	5,586	7,7228	-0,3259	-0,0249	-9,36	97,47	a
54.	158,2	25,01	5,690	5,690	7,7169	-0,3318	-0,0252	-9,46	97,56	a
55.	158,6	25,01	5,794	5,794	7,7113	-0,3374	-0,0251	-9,46	97,55	a
56.	159,0	25,01	5,898	5,898	7,7062	-0,3425	-0,0246	-9,26	97,40	a
57.	159,4	25,01	6,002	6,002	7,7011	-0,3476	-0,0241	-9,07	97,24	a
58.	159,9	25,01	6,108	6,108	7,6953	-0,3534	-0,0242	-9,10	97,27	a
59.	160,3	25,01	6,212	6,212	7,6899	-0,3598	-0,0250	-9,42	97,52	a
60.	160,7	25,01	6,317	6,317	7,6823	-0,3664	-0,0260	-9,77	97,80	a
61.	161,1	25,01	6,421	6,421	7,6769	-0,3718	-0,0258	-9,69	97,74	a
62.	161,5	25,01	6,525	6,525	7,6712	-0,3775	-0,0258	-9,72	97,76	a
63.	162,0	25,01	6,629	6,629	7,6657	-0,3830	-0,0257	-9,68	97,73	a
64.	162,4	25,01	6,735	6,735	7,6596	-0,3891	-0,0261	-9,83	97,85	a
65.	162,8	25,01	6,839	6,839	7,6533	-0,3954	-0,0269	-10,10	98,07	a
66.	163,2	25,01	6,944	6,944	7,6471	-0,4016	-0,0274	-10,31	98,23	a
67.	163,6	25,01	7,048	7,048	7,6410	-0,4077	-0,0279	-10,49	98,38	a
68.	164,0	25,01	7,152	7,152	7,6349	-0,4138	-0,0284	-10,67	98,53	a
69.	164,5	25,01	7,256	7,256	7,6309	-0,4178	-0,0268	-10,06	98,04	a
70.	164,9	25,01	7,362	7,362	7,6267	-0,4220	-0,0252	-9,50	97,58	a
71.	165,3	25,01	7,466	7,466	7,6209	-0,4278	-0,0255	-9,58	97,65	a
72.	165,7	25,01	7,571	7,571	7,6149	-0,4338	-0,0258	-9,71	97,75	a
73.	166,1	25,01	7,675	7,675	7,6098	-0,4389	-0,0253	-9,52	97,60	a
74.	166,6	25,01	7,779	7,779	7,6040	-0,4447	-0,0255	-9,59	97,65	a
75.	167,0	25,01	7,883	7,883	7,5988	-0,4499	-0,0251	-9,43	97,53	a
76.	167,4	25,01	7,989	7,989	7,5946	-0,4541	-0,0236	-8,87	97,08	a
77.	167,8	25,01	8,092	8,092	7,5887	-0,4600	-0,0239	-8,99	97,18	a
78.	168,2	25,01	8,197	8,197	7,5824	-0,4663	-0,0245	-9,23	97,37	a
79.	168,6	25,01	8,302	8,302	7,5762	-0,4725	-0,0251	-9,45	97,55	a
80.	169,1	25,01	8,406	8,406	7,5702	-0,4785	-0,0255	-9,60	97,66	a
81.	169,5	25,01	8,515	8,515	7,5647	-0,4840	-0,0251	-9,44	97,54	a
82.	169,9	25,01	8,619	8,619	7,5592	-0,4895	-0,0250	-9,41	97,52	a
83.	170,4	25,01	8,728	8,728	7,5541	-0,4946	-0,0243	-9,13	97,29	a
84.	170,8	25,01	8,832	8,832	7,5484	-0,5003	-0,0244	-9,16	97,31	a
85.	171,2	25,01	8,936	8,936	7,5425	-0,5062	-0,0246	-9,27	97,40	a
86.	171,6	25,01	9,042	9,042	7,5368	-0,5119	-0,0246	-9,26	97,40	a

87.	172,0	25,01	9,145	9,145	7,5316	-0,5171	-0,0243	-9,12	97,28	a
88.	172,4	25,01	9,250	9,250	7,5255	-0,5232	-0,0247	-9,29	97,42	a
89.	172,9	25,01	9,355	9,355	7,5200	-0,5287	-0,0246	-9,25	97,38	a
90.	173,3	25,01	9,459	9,459	7,5148	-0,5339	-0,0242	-9,09	97,26	a
91.	173,7	25,01	9,563	9,563	7,5091	-0,5396	-0,0243	-9,12	97,28	a
92.	174,1	25,01	9,669	9,669	7,5030	-0,5457	-0,0246	-9,27	97,40	a
93.	174,5	25,01	9,772	9,772	7,4971	-0,5516	-0,0250	-9,39	97,50	a
94.	175,0	25,01	9,877	9,877	7,4912	-0,5575	-0,0252	-9,48	97,57	a
95.	175,4	25,01	9,981	9,981	7,4856	-0,5631	-0,0252	-9,48	97,57	a
96.	175,8	25,02	10,085	10,085	7,4799	-0,5688	-0,0253	-9,52	97,60	a
97.	176,2	25,02	10,190	10,190	7,4744	-0,5743	-0,0252	-9,47	97,56	a
98.	176,6	25,02	10,296	10,296	7,4689	-0,5798	-0,0250	-9,39	97,50	a
99.	177,0	25,02	10,399	10,399	7,4634	-0,5853	-0,0249	-9,36	97,48	a
100.	177,5	25,02	10,504	10,504	7,4581	-0,5906	-0,0245	-9,23	97,37	a
101.	177,9	25,02	10,608	10,608	7,4523	-0,5964	-0,0247	-9,30	97,43	a
102.	178,3	25,02	10,712	10,712	7,4462	-0,6025	-0,0252	-9,48	97,57	a
103.	178,7	25,02	10,822	10,822	7,4406	-0,6081	-0,0249	-9,37	97,48	a
104.	179,2	25,02	10,926	10,926	7,4347	-0,6140	-0,0252	-9,49	97,58	a
105.	179,6	25,02	11,031	11,031	7,4284	-0,6203	-0,0259	-9,73	97,77	a
106.	180,0	25,02	11,139	11,139	7,4226	-0,6261	-0,0258	-9,72	97,76	a
107.	180,4	25,02	11,243	11,243	7,4163	-0,6324	-0,0265	-9,98	97,97	a
108.	180,8	25,02	11,349	11,349	7,4099	-0,6388	-0,0272	-10,24	98,18	a
109.	181,3	25,02	11,452	11,452	7,4050	-0,6437	-0,0266	-9,99	97,98	a
110.	181,7	25,02	11,557	11,557	7,3990	-0,6497	-0,0269	-10,12	98,08	a
111.	182,1	25,02	11,661	11,661	7,3920	-0,6567	-0,0283	-10,64	98,50	a
112.	182,5	25,02	11,765	11,765	7,3860	-0,6627	-0,0287	-10,79	98,62	a
113.	182,9	25,02	11,870	11,870	7,3810	-0,6677	-0,0281	-10,56	98,43	a
114.	185,0	25,02	11,861	11,861	7,3828	-0,6659	-0,0267	-10,05	98,03	r
115.	185,4	25,02	11,758	11,758	7,3985	-0,6502	-0,0166	-6,24	94,98	r
116.	185,8	25,02	11,649	11,649	7,4144	-0,6343	-0,0066	-2,47	91,97	r
117.	186,2	25,02	11,544	11,544	7,4310	-0,6177	0,0044	1,662	88,68	r
118.	186,6	25,02	11,440	11,440	7,4467	-0,6020	0,0145	5,46	85,65	r
119.	187,1	25,02	11,335	11,335	7,4624	-0,5863	0,0245	9,22	82,64	r
120.	187,5	25,02	11,231	11,231	7,4760	-0,5727	0,0325	12,24	80,21	r
121.	187,9	25,02	11,126	11,126	7,4877	-0,5610	0,0386	14,51	78,37	r
122.	188,3	25,02	11,022	11,022	7,4959	-0,5528	0,0412	15,48	77,58	r
123.	188,7	25,02	10,918	10,918	7,5046	-0,5441	0,0442	16,64	76,63	r
124.	189,1	25,02	10,813	10,813	7,5084	-0,5403	0,0424	15,96	77,19	r
125.	189,6	25,02	10,708	10,708	7,5134	-0,5353	0,0417	15,69	77,41	r
126.	190,0	25,02	10,604	10,604	7,5178	-0,5309	0,0406	15,26	77,76	r
127.	190,4	25,02	10,499	10,499	7,5245	-0,5242	0,0416	15,65	77,44	r
128.	190,8	25,02	10,395	10,395	7,5308	-0,5179	0,0423	15,91	77,23	r
129.	191,2	25,02	10,291	10,291	7,5349	-0,5138	0,0408	15,34	77,70	r
130.	191,7	25,02	10,187	10,187	7,5416	-0,5071	0,0419	15,74	77,36	r
131.	192,1	25,02	10,077	10,077	7,5493	-0,4994	0,0436	16,42	76,81	r
132.	192,5	25,02	9,973	9,973	7,5533	-0,4954	0,0420	15,81	77,31	r
133.	192,9	25,02	9,869	9,869	7,5615	-0,4872	0,0446	16,78	76,52	r
134.	193,4	25,02	9,761	9,761	7,5675	-0,4812	0,0448	16,85	76,46	r
135.	193,8	25,02	9,655	9,655	7,5744	-0,4743	0,0460	17,30	76,09	r
136.	194,2	25,02	9,551	9,551	7,5797	-0,4690	0,0457	17,19	76,18	r
137.	194,6	25,02	9,447	9,447	7,5855	-0,4632	0,0459	17,25	76,13	r
138.	195,0	25,02	9,342	9,342	7,5901	-0,4586	0,0449	16,87	76,44	r
139.	195,5	25,02	9,238	9,238	7,5943	-0,4544	0,0434	16,34	76,88	r
140.	195,9	25,02	9,134	9,134	7,6003	-0,4484	0,0438	16,48	76,76	r
141.	196,3	25,02	9,028	9,028	7,6055	-0,4432	0,0433	16,29	76,92	r
142.	196,7	25,02	8,925	8,925	7,6120	-0,4367	0,0442	16,64	76,63	r
143.	197,1	25,02	8,820	8,820	7,6200	-0,4287	0,0466	17,52	75,91	r
144.	197,5	25,02	8,716	8,716	7,6267	-0,4220	0,0477	17,94	75,57	r
145.	198,0	25,02	8,611	8,611	7,6307	-0,4180	0,0461	17,33	76,07	r
146.	198,4	25,02	8,507	8,507	7,6355	-0,4132	0,0453	17,02	76,32	r
147.	198,8	25,02	8,401	8,401	7,6414	-0,4073	0,0454	17,09	76,26	r
148.	199,2	25,02	8,298	8,298	7,6475	-0,4012	0,0460	17,29	76,10	r
149.	199,6	25,02	8,193	8,193	7,6545	-0,3942	0,0473	17,80	75,68	r
150.	200,1	25,02	8,089	8,089	7,6595	-0,3892	0,0467	17,57	75,87	r
151.	200,5	25,02	7,985	7,985	7,6639	-0,3848	0,0455	17,11	76,24	r
152.	200,9	25,02	7,880	7,880	7,6710	-0,3777	0,0470	17,67	75,79	r
153.	201,3	25,02	7,775	7,775	7,6763	-0,3724	0,0466	17,52	75,91	r
154.	201,7	25,02	7,671	7,671	7,6841	-0,3646	0,0488	18,35	75,22	r
155.	202,1	25,02	7,566	7,566	7,6872	-0,3615	0,0462	17,39	76,02	r
156.	202,6	25,02	7,462	7,462	7,6933	-0,3554	0,0467	17,57	75,87	r
157.	203,0	25,02	7,358	7,358	7,6973	-0,3514	0,0451	16,97	76,36	r
158.	203,4	25,03	7,253	7,253	7,7033	-0,3454	0,0455	17,11	76,25	r
159.	203,8	25,03	7,144	7,144	7,7101	-0,3386	0,0464	17,45	75,97	r
160.	204,3	25,03	7,036	7,036	7,7169	-0,3318	0,0474	17,81	75,67	r
161.	204,7	25,03	6,931	6,931	7,7226	-0,3261	0,0474	17,84	75,65	r
162.	205,1	25,03	6,827	6,827	7,7286	-0,3201	0,0478	17,99	75,53	r
163.	205,5	25,03	6,721	6,721	7,7349	-0,3138	0,0484	18,22	75,34	r

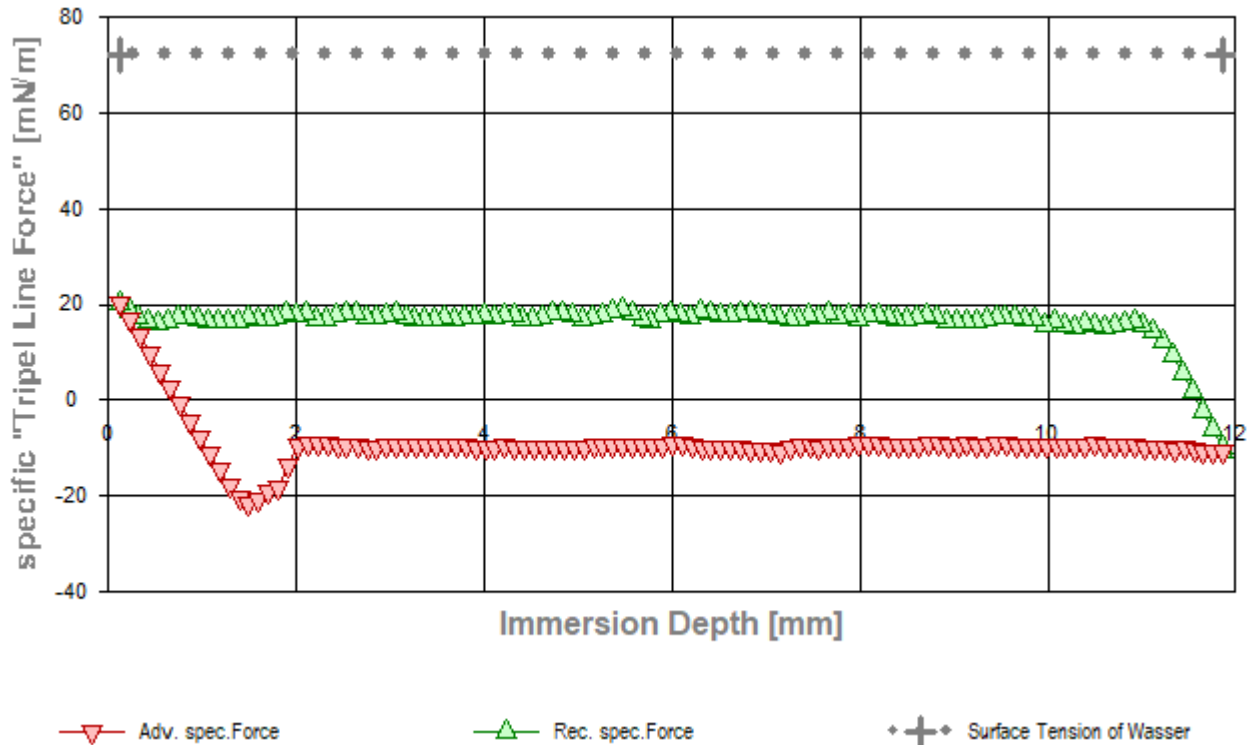
164.	205,9	25,03	6,618	6,618	7,7391	-0,3096	0,0471	17,70	75,77	r
165.	206,4	25,03	6,513	6,513	7,7446	-0,3041	0,0469	17,64	75,81	r
166.	206,8	25,03	6,409	6,409	7,7512	-0,2975	0,0479	18,01	75,51	r
167.	207,2	25,03	6,305	6,305	7,7585	-0,2902	0,0496	18,64	74,99	r
168.	207,6	25,03	6,200	6,200	7,7611	-0,2876	0,0466	17,51	75,92	r
169.	208,0	25,03	6,094	6,094	7,7672	-0,2815	0,0469	17,66	75,80	r
170.	208,4	25,03	5,991	5,991	7,7737	-0,2750	0,0479	18,01	75,51	r
171.	208,9	25,03	5,886	5,886	7,7784	-0,2703	0,0469	17,64	75,81	r
172.	209,3	25,03	5,782	5,782	7,7811	-0,2676	0,0440	16,55	76,70	r
173.	209,7	25,03	5,678	5,678	7,7873	-0,2614	0,0446	16,77	76,52	r
174.	210,1	25,03	5,574	5,574	7,7963	-0,2524	0,0480	18,05	75,48	r
175.	210,5	25,03	5,468	5,468	7,8042	-0,2445	0,0502	18,87	74,80	r
176.	211,0	25,03	5,364	5,364	7,8086	-0,2401	0,0490	18,43	75,16	r
177.	211,4	25,03	5,259	5,259	7,8126	-0,2361	0,0473	17,81	75,68	r
178.	211,8	25,03	5,155	5,155	7,8167	-0,2320	0,0458	17,24	76,14	r
179.	212,2	25,03	5,047	5,047	7,8215	-0,2272	0,0448	16,85	76,46	r
180.	212,6	25,03	4,941	4,941	7,8297	-0,2190	0,0473	17,79	75,69	r
181.	213,1	25,03	4,838	4,838	7,8361	-0,2126	0,0481	18,10	75,43	r
182.	213,5	25,03	4,729	4,729	7,8418	-0,2069	0,0480	18,04	75,48	r
183.	213,9	25,03	4,625	4,625	7,8450	-0,2037	0,0456	17,13	76,23	r
184.	214,3	25,03	4,521	4,521	7,8500	-0,1987	0,0449	16,90	76,42	r
185.	214,8	25,03	4,415	4,415	7,8559	-0,1928	0,0451	16,97	76,36	r
186.	215,2	25,03	4,311	4,311	7,8637	-0,1850	0,0474	17,81	75,67	r
187.	215,6	25,03	4,207	4,207	7,8691	-0,1796	0,0471	17,72	75,75	r
188.	216,0	25,03	4,102	4,102	7,8737	-0,1750	0,0461	17,34	76,06	r
189.	216,4	25,03	3,998	3,998	7,8801	-0,1686	0,0469	17,63	75,82	r
190.	216,8	25,03	3,894	3,894	7,8845	-0,1642	0,0457	17,17	76,19	r
191.	217,3	25,03	3,788	3,788	7,8903	-0,1584	0,0458	17,21	76,16	r
192.	217,7	25,03	3,685	3,685	7,8954	-0,1533	0,0453	17,04	76,31	r
193.	218,1	25,03	3,580	3,580	7,9013	-0,1474	0,0455	17,13	76,23	r
194.	218,5	25,03	3,476	3,476	7,9065	-0,1422	0,0451	16,97	76,36	r
195.	218,9	25,03	3,371	3,371	7,9118	-0,1369	0,0448	16,85	76,46	r
196.	219,3	25,03	3,267	3,267	7,9177	-0,1310	0,0451	16,96	76,37	r
197.	219,8	25,03	3,161	3,161	7,9242	-0,1245	0,0459	17,26	76,13	r
198.	220,2	25,03	3,058	3,058	7,9327	-0,1160	0,0488	18,36	75,22	r
199.	220,6	25,03	2,953	2,953	7,9363	-0,1124	0,0467	17,58	75,86	r
200.	221,0	25,03	2,849	2,849	7,9414	-0,1073	0,0462	17,39	76,02	r
201.	221,4	25,03	2,744	2,744	7,9470	-0,1017	0,0462	17,38	76,02	r
202.	221,9	25,03	2,640	2,640	7,9542	-0,0945	0,0478	17,98	75,53	r
203.	222,3	25,03	2,530	2,530	7,9607	-0,0880	0,0484	18,20	75,35	r
204.	222,7	25,03	2,422	2,422	7,9649	-0,0838	0,0468	17,59	75,85	r
205.	223,1	25,03	2,318	2,318	7,9688	-0,0799	0,0450	16,94	76,38	r
206.	223,6	25,03	2,214	2,214	7,9748	-0,0739	0,0454	17,09	76,26	r
207.	224,0	25,03	2,108	2,108	7,9833	-0,0654	0,0482	18,14	75,40	r
208.	224,4	25,03	2,005	2,005	7,9873	-0,0614	0,0467	17,55	75,89	r
209.	224,8	25,03	1,900	1,900	7,9943	-0,0544	0,0480	18,06	75,47	r
210.	225,2	25,03	1,796	1,796	7,9981	-0,0506	0,0462	17,37	76,03	r
211.	225,7	25,03	1,692	1,692	8,0028	-0,0459	0,0453	17,03	76,31	r
212.	226,1	25,03	1,587	1,587	8,0084	-0,0403	0,0453	17,03	76,31	r
213.	226,5	25,03	1,482	1,482	8,0146	-0,0341	0,0458	17,22	76,16	r
214.	226,9	25,03	1,378	1,378	8,0182	-0,0305	0,0438	16,47	76,77	r
215.	227,3	25,03	1,273	1,273	8,0242	-0,0245	0,0441	16,61	76,66	r
216.	227,7	25,03	1,169	1,169	8,0292	-0,0195	0,0435	16,38	76,85	r
217.	228,2	25,03	1,061	1,061	8,0355	-0,0132	0,0440	16,56	76,70	r
218.	228,6	25,03	0,956	0,956	8,0422	-0,0065	0,0450	16,94	76,38	r
219.	229,0	25,03	0,853	0,853	8,0488	0,0001	0,0461	17,33	76,06	r
220.	229,4	25,03	0,744	0,744	8,0546	0,0059	0,0460	17,31	76,08	r
221.	229,9	25,03	0,640	0,640	8,0582	0,0095	0,0440	16,56	76,70	r
222.	230,3	25,03	0,536	0,536	8,0623	0,0136	0,0425	15,99	77,16	r
223.	230,7	25,03	0,430	0,430	8,0689	0,0202	0,0434	16,33	76,88	r
224.	231,1	25,04	0,327	0,327	8,0771	0,0284	0,0461	17,33	76,07	r
225.	231,5	25,04	0,222	0,222	8,0858	0,0371	0,0491	18,47	75,13	r
226.	231,9	25,04	0,118	0,118	8,0956	0,0469	0,0533	20,05	73,83	r

→ Diagramm 3.4: 'RawData²' -- Acquired weights, raw data with buoyancy effects; corrected lengths



- Das Diagramm "RawData²" präsentiert Nettogewichts- und Positionsdaten der Messung. Die roten Dreiecke bezeichnen die Messwerte W_{corr} , bei der Vorwärtsbewegung (adv.), die grünen Dreiecke gehören zu Auszugsbewegungen (rec.). Von den Gewichtsdaten sind Proben- und Aufhängungsgewicht subtrahiert, so dass hier nur Benetzungs- und Auftriebskräfte abgebildet werden. Die Kurvenverläufe fallen mit der Eintauchtiefe durch den zunehmenden Auftrieb, der das Gewicht verringert. Im Diagramm sind je zwei Graphen für adv.- und rec.-Werte eingetragen, für nominelle (*nominal*, h_0) und korrigierte Werte (*corrected*, h_{corr}). Durch 'CLT' (die *Constant-Level-Technic*) wird der Pegelanstieg durch eintauchendes Probenvolumen und Meniskus real ausgeglichen, sodass die nominelle Eintauchtief gleich der tatsächlichen ist; die Kurven sind deshalb deckungsgleich.

- Diagramm 4.4: 'Triple-line Force²' -- Data with respect to buoyancy: force at the tripleline



- Diagramm "Triple-line Force²": Die Eliminierung der Auftriebskräfte und Normierung der Benetzungskraft über den Probenumfang in der Phasengrenze ergibt die 'spezifische Benetzungskraft' pro Meter. Die roten Dreiecke sind die entsprechenden Werte bei der Vorwärtsbewegung, die grünen gehören zu Rückzugsbewegungen. Die 'specific Meniscus Force' d.h. die spezifische Benetzungskraft ist die Haftkraft, die unmittelbar an der Dreiphasengrenze angreift. Diese spezifische Kraft dürfte höchstens den Wert der Oberflächenspannung von Wasser erreichen (im Diagramm als grau-gepunktete Linie eingezeichnet).

Temperaturangaben beziehen sich auf die Skala der ITS-90. **Standardabweichungen:** Verschiedentlich werden Regressionsfunktionen mit Standardabweichungen bzw. Varianzen qualifiziert. Diese Angaben werden berechnet aus der Summe der Quadrate der Abweichungen der Einzelwerte zu jeweils berechneten Funktionswerten dividiert durch die Anzahl der Werte weniger 1. Sofern nicht anders bezeichnet, werden für \pm (Standardmess-)Unsicherheiten einfache Standardabweichungen - ohne Erweiterungsfaktoren - angegeben, d.h. die Überdeckung betrifft 67% normalverteilter Werte.

Form und Informationsfülle des Prüfberichts ist dadurch bedingt, dass Messdaten durch die zahlreichen Freiheitsgrade sehr vielgestaltig auftreten können. Die Variablen der Messung müssen vollständig dargestellt werden können, um verifizierbar zu sein. Vollständigkeit ist Voraussetzung für die Überprüfbarkeit und Haltbarkeit der Resultate sowie abgeleiteter Schlussfolgerungen. Nicht zuletzt erfordern einschlägige Bestimmungen (GxP, FDA cfr.11/21 etc.) zusammen mit schlicht zeitökonomischen Erwägungen diesen hiermit Großteils erledigten Aufwand.

IMPro Execution & Audit-Trail

Data created during execution of the IMPro "ContactAngle_atConstantLevel, 12.10.20, 65001", type 4/4. Time Periode of the Accomplishment: Okt., 12. 2020 between 22:17:29 and 22:21:34, elapsed time: four minutes. Automatic self-repetition of the IMPro - the 4. Repetition. IMPro finished as projected. The complete Report first was presented on Okt., 12.20 at 22:29. Audit-Log: The Original data is unchanged, nevertheless there are entries to the Log, made while the IMPro was executing:

Start of this IMPro 22:19:43, - Backup of individual IMPro configuration, as follows:

Time Variables: _Equi_Time 0,350s, ConditioningTime 0s, StirringTime 0s.

Abs. Positions/Way: Immersion_Depth 12mm, Platform_StartPosition 87mm.

Rel. Positions/Way: FeedRateAdv 0,2mm, FeedRateRec -0,2mm, FeedRate_for_adv_rec_turn -0,075mm.

Others: _Equi_Crit 0,0002g, _Equi_loops 10x, _Equi_loopsRepeater 1x, Stirrer-Speed 0rps.

yn: (Auto)Repeat -1, Record_Air_Density -1, Temperature-Outside-Warning 0, Automatic_Thermostat_available 0.

The Number **18746** refers to the Recordset in the Database '*imeterData36*' where all Information can be retrieved at any time.

Prüfmittel

Das Wägesystem (WZA224) wurde 6,4 Stunden vor dieser Messung von M. Breitwieser justiert. Die letzte vollständige Prüfung der Positioniervorrichtung von **IMETER** (ID23903733) erfolgte am 29.02.20. **Technische Daten:** Auflösung des Wägesystems 0,1 mg, Messunsicherheit (Linearität) 0,2 mg, Dichte der Justiermasse ρ_{cal} 8,00 g/cm³, Luftdichte ρ_{air} 1,116464 kg/m³; Schwerebeschleunigung g 9,80769 m/s². Pt100-Temperaturmessung: Auflösung 0,001 K, Messunsicherheit $\pm 0,01$ K, R° 100.0056 Ω , Kalibrierintervall 30 min (BN², -25/152°C, 3S, FS15,8, Korrekturfunktion: -0 +0,998743 \cdot ϑ °C). Die Messauflösung der sekundären Temperaturmessung beträgt 0,01 K, die Unsicherheit 0,03 K. Akquisitions-Softwareversion IMETER 7.4.2, LizenzN° *3037-4759*, Windows 6.2- Betriebssystem auf PC Ser.N°6995684 (C, SSD).

Report created by M. Breitwieser

Bei diesem Dokument handelt es sich um eine Begleitinformation bzw. Anlage zur Webseite:

<https://www.imeter.de/KontaktwinkelKonstanter>

... dort wird der Zusammenhang erklärt, in dem dieser Prüfbericht steht.

Nachtrag:

Das Dokument ist ein automatisch erstellter Prüfbericht. Es handelt sich um eine von mehreren Messwiederholungen. In der vorliegenden Dokumentation der Wiederholungsmessung fehlen die Angaben über die Eigenschaften der Messflüssigkeit, des Aufbaus sowie der Gewichtsbilanzen. Dies sei mit dem Folgenden Absatz nachgetragen:

...

3. ===== Details on the Measurement and Setup =====

Sample: 'HDPE', **Form:** cylindric, diameter 8,3 mm.

Test Liquid: 'Wasser' at 25,039°C: density 0,995922 g/mL, surface tension 71,97 mN/m, viscosity 0,8893 mPa·s; Capillary length 2,71 mm.

Suspension/Fixation: by operator; measured weight at start 2,8424 g.

Vessel: tempered double wall measuring cell, height 140 mm, inclosing sample and liquid at coherent temperature and atmosphere; Surface area ∞ by CLT (1452 mm²). The 'CLT' Constant-Level-Technic indicates that rising/falling of the Wasser-level in the vessel through immersed/emersed volume of the sample is corrected and kept constant in the vessel (e.g.) by appropriate pumping in/out of the Wasser (liquid). Any state of distortion of the liquid surface is thus kept constant throughout the whole measurement.

Conditioning: during 5,2 min in the measuring cell above the surface of the liquid.

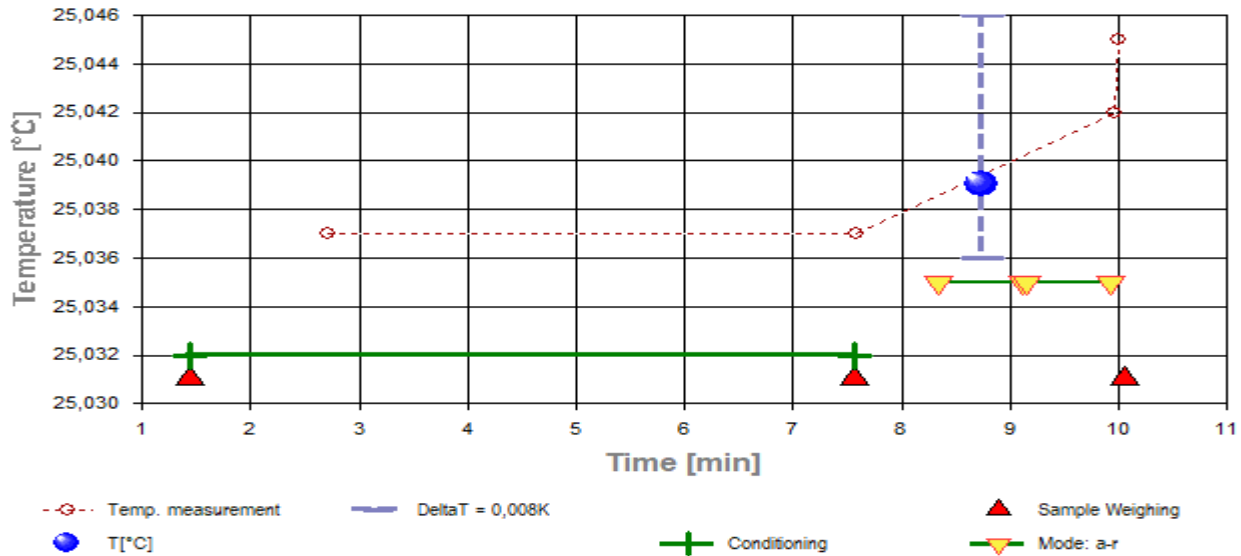
Sample Weight: at start 5,2062 g, after conditioning 5,2039 g, after the measurement 5,2172 g.

Loss in weight during conditioning -0,0023 g (-0,44‰) but different after measurement 0,0109 g (+2,1‰).

Measurement algorithm: dynamic CA-measurement, acquisition during constant movement to the maximum immersion of 11,881 mm. Duration for immersion 0,78 min, for emersion 0,78 min.

Time & Temperature: Messdauer zehn Minuten; Temperaturverlauf im gesamten Zeitraum in etwa isotherm bei 25,039°C.

- Diagramm 2.3: 'Temperature & Events' -- Survey on Temperature and Time



HDPE-Probe.

